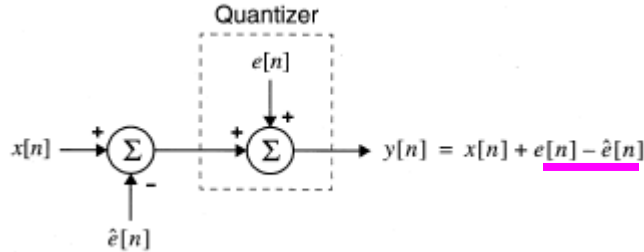


Basic Theory of Operation

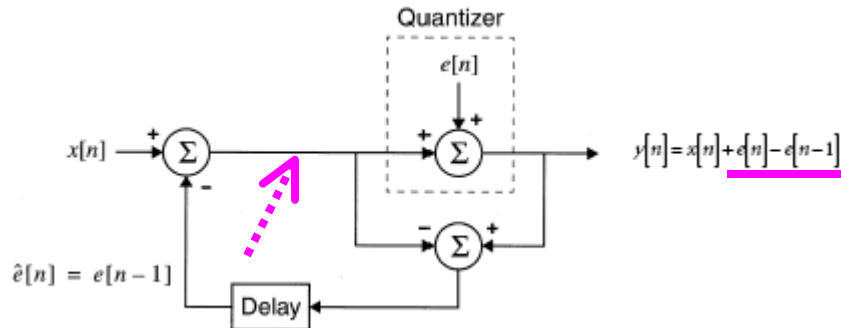
In Nyquist rate converters, the error is **reduced** by using a large number of small steps in the quantizer characteristic.

In oversampled data converters, specifically sigma-delta modulators, the error is **corrected** by estimating the error in advance and subtracting it from the input.

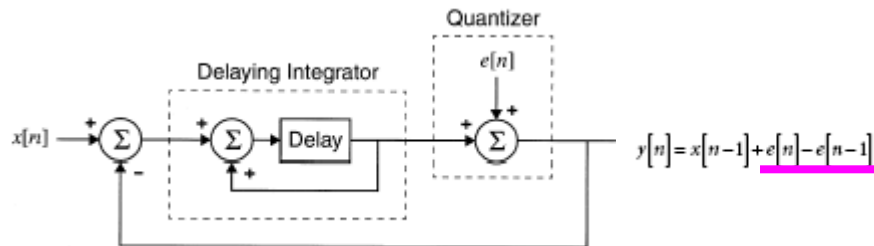


However, since the error is not known until it is made, $e[n]$ is not known when $\hat{e}[n]$ is needed. Therefore, some means must be found to estimate the error.

In the case of **sigma-delta** converters, the error can be estimated by exploiting some knowledge of the frequency domain behavior of the input signal. Specifically, *it is assumed that the signal is changing very slowly from sample to sample*, or equivalently, its bandwidth is much less than the sampling rate. For exceedingly slow signals, a **first-order estimate of the error** to be committed in quantization can be formed. The first-order estimate of the current error $e[n]$ is *simply* the previous error $e[n-1]$.



With a few straightforward steps, the system can be transformed into that of Fig below, where the delay element is now immersed in an integrator feedback loop.



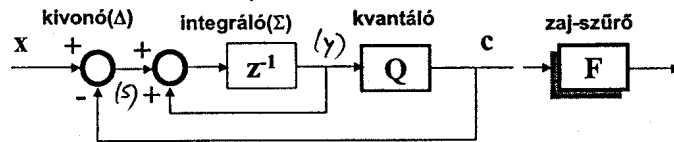
DSM topológia variációk

Zajformálás (zaj-differenciálás) és szűrés spektrum szeparálás

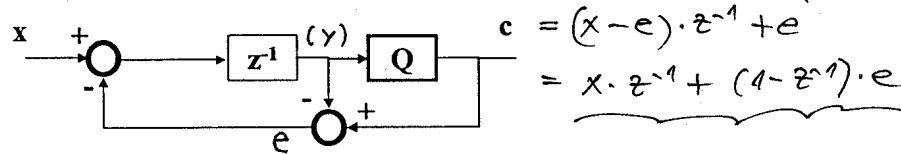
LP (Low Pass) MOD1:

Visszacsatolással (tracking loop) átlagosan zérus értékű az (ábrán diszkrét-idejű) integráló kimenete, ez minimalizálja a kisfrekvenciás differenciát x és c között. Tehát a nagy mintagyakoriságú numerikus mintasorozat (c : data stream) lokális "átlag"értéke pontosan követi a bemenetet (a késleltetési operátor $\Delta t = 1/f_s$)

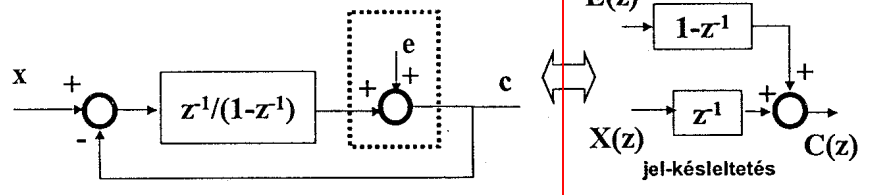
"jel" visszacsatolás $\rightarrow (s+y) \cdot z^{-1} = y \rightarrow y = \frac{z^{-1}}{1-z^{-1}} \cdot s$



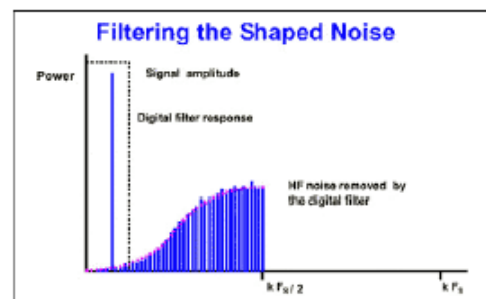
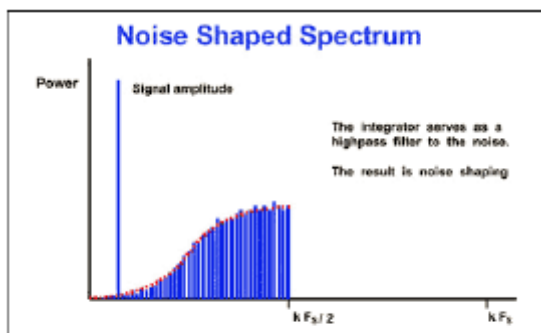
ekvivalens topológia: "hiba" visszacsatolás



linearizált modell (a kvantálási hiba "fehér zaj")

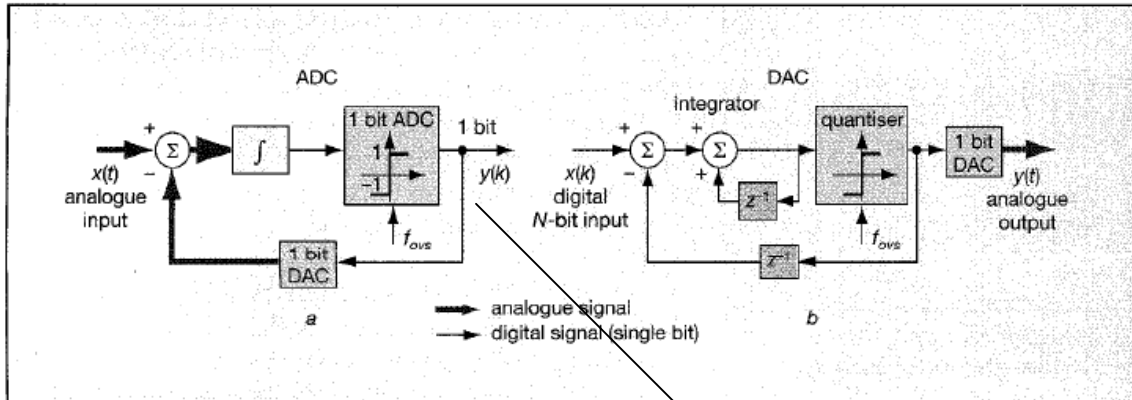


A jel és kvantálási-zaj spektrum szeparálódik (!), a keskenysávú jelre a transzfer függvény: z^{-1} (ez csak késleltetés), míg a szélesávú zajt formáló transzfer függvény: $1 - z^{-1}$ (ez diszkrét idejű elsőrendű differenciáló \rightarrow frekvencia szelektív: nagyfrekvenciás kiemelő, felüláteresztő szűrő)

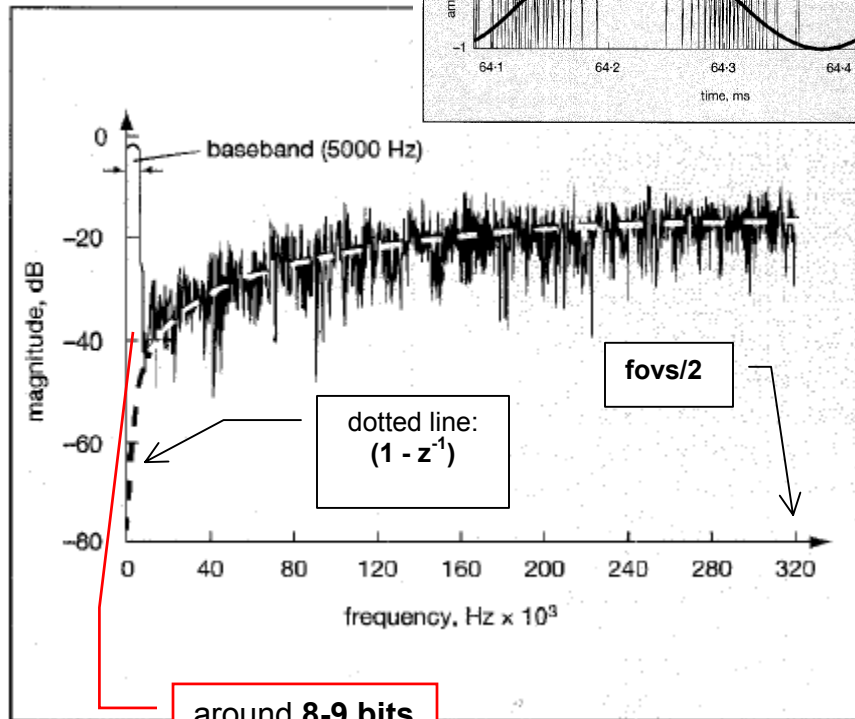
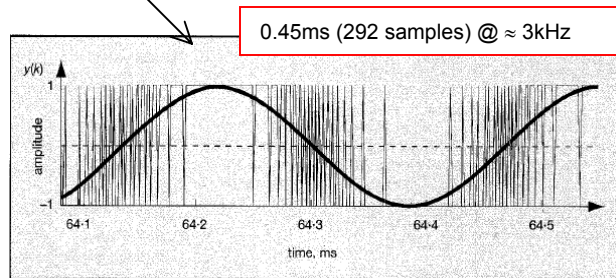


Affect of the integrator in the sigma-delta modulator

LP MOD1:



In: linear chirp (100Hz to 5000Hz)
 f_{ovs}: 0.64 MHz; **M = 64 (L = 1, n = 1)**
 FFT: 64K (65 536 data points, ≈ 0.1s)

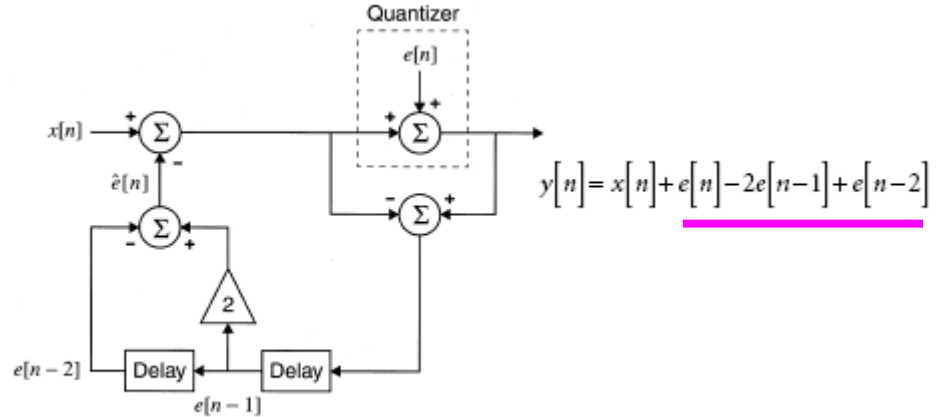


around **8-9 bits**
 by dig LPF
 (decimation)

A **second-order estimate of $e[n]$** may be formed by assuming that the error $e[n]$ varies linearly with time. In this case, an *estimate* of the current error $e[n]$ may be computed by changing the previous error $e[n-1]$ by an amount equal to the change between $e[n-2]$ and $e[n-1]$. The second order *error estimate* is thus

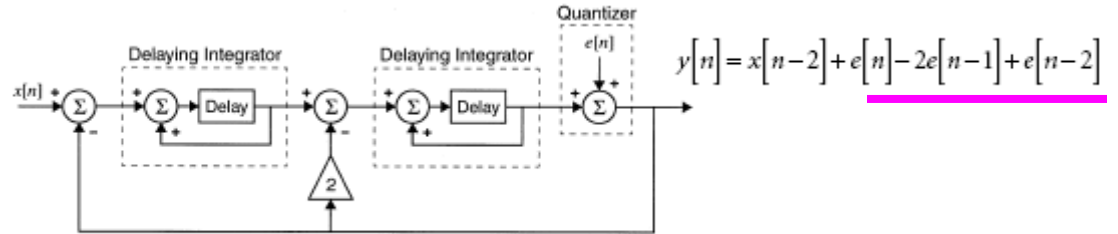
$$\hat{e}[n] = e[n-1] + (e[n-1] - e[n-2]) = 2e[n-1] - e[n-2]$$

and the **second-order modulator** is the following



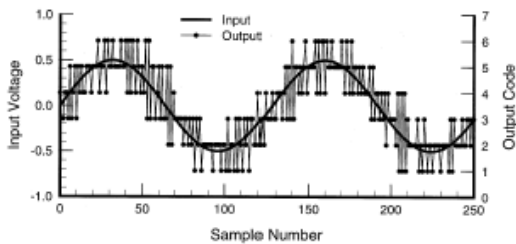
Second-order error estimation.

After a number of steps, that the modulator can be transformed into a modulator in which the feedback loop delays are again immersed in practical *integrator* blocks

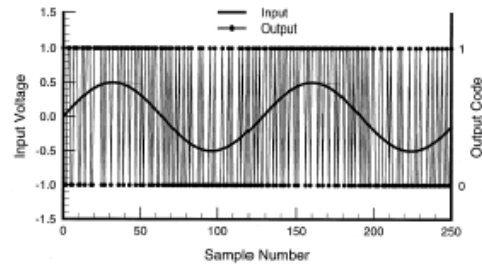


Second-order equivalent modulator.

Fig's show the simulated output of the modulator when fed with a simple *sinusoidal input*



eight-level quantizer



two-level quantizer

PCM vs. 2nd order DSM

Uniform Quantizer:

48-Msample/s input sequence, consisting of a 48-kHz sinusoid with small amplitude [plus a small amount of white noise such that the input signal-to-noise ratio (SNR) is 100 dB]. Fig. 2(a) shows the power spectral density (PSD) plot of the resulting quantizer output sequence, and Fig. 2(b) shows a time-domain plot of the quantizer output sequence over two periods of the sinusoid

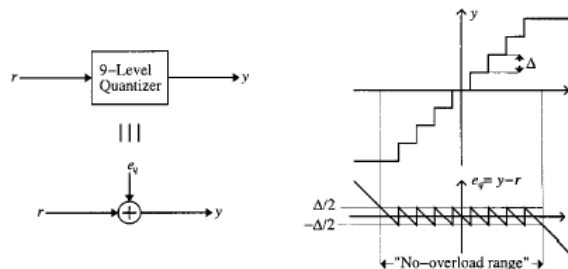


Fig. 1. Ideal nine-level uniform quantizer.

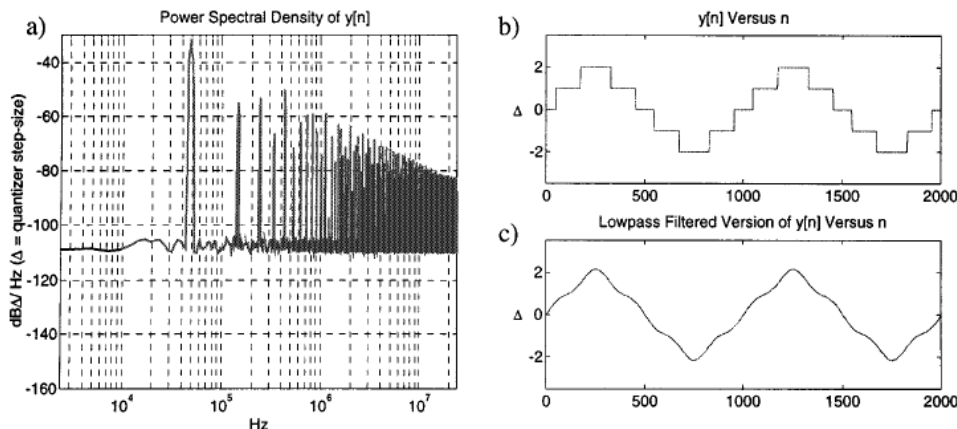


Fig. 2. (a) PSD plot of the quantizer output in decibels, relative to the quantization step-size, per hertz. (b) Time-domain plot of the quantizer output. (c) Time-domain plot of the quantizer output filtered by a sharp lowpass filter with a cutoff frequency of 500 kHz.

ΔΣ Modulator:

Same 48-Msample/s input sequence considered above is applied to the input of the modulator, and the discrete-time integrators in the modulator are clocked at 48 MHz. Fig. 4(a) shows the PSD plot of the resulting modulator output sequence, and Fig. 4(b) shows a time-domain plot of over two periods of the sinusoid

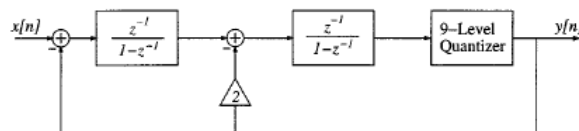


Fig. 3. Second-order ΣΔ modulator architecture.

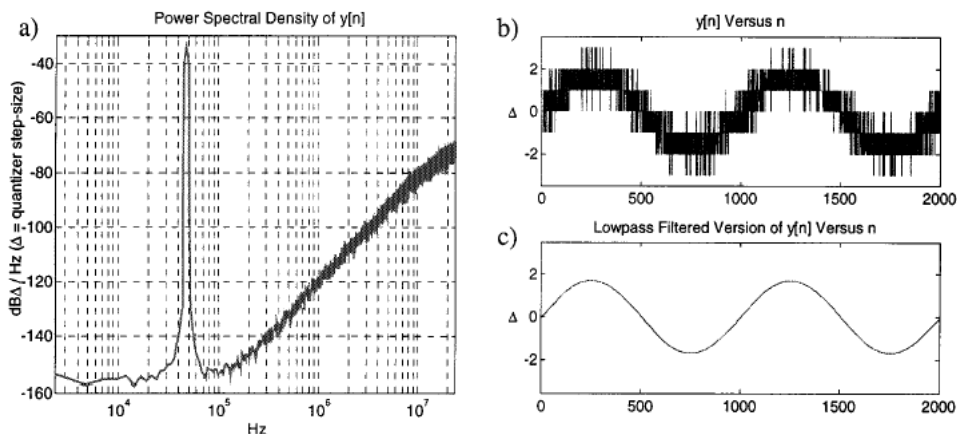
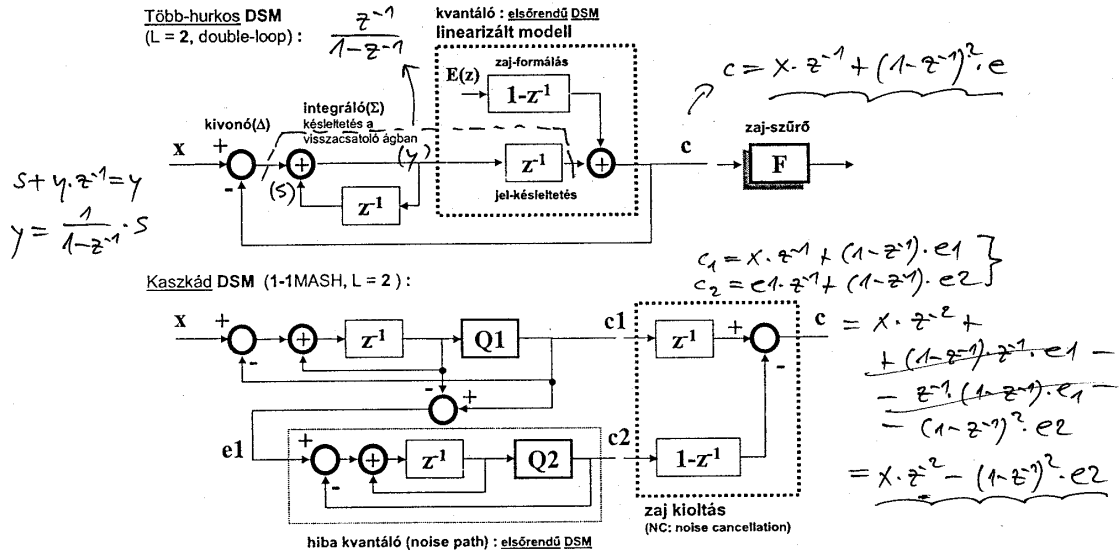


Fig. 4. (a) PSD plot of the ΔΣ modulator output in decibels, relative to the quantization step-size, per hertz. (b) Time-domain plot of the ΔΣ modulator output. (c) Time-domain plot of the ΔΣ modulator output filtered by a sharp lowpass filter with a cutoff frequency of 500 kHz.

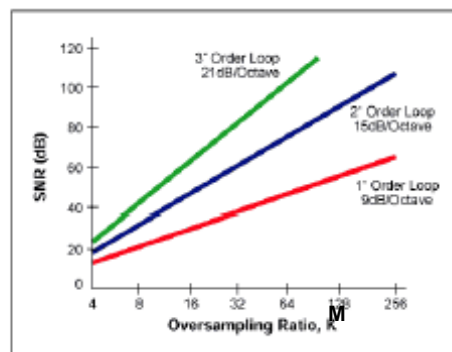
Two important differences with respect to the uniform quantization example shown in Fig. 2 are apparent: (1) the quantization noise PSD is significantly **attenuated** at low frequencies, and (2) **no** spurious tones are visible anywhere in the discrete-time spectrum.

LP MOD2:

2.3 A linearizált kvantáló modellt felhasználva, igazoljuk, hogy másodrendű ($L = 2$) zajformáló az alábbi *több-hurkos (multi-loop)* illetve *kaszád (MASH)* átalakító alapváltozat



A kaszád DSM kimenete mindig multi-bités (még akkor is, ha a kvantálók 1 bitesek), miért?



Relationship between order of sigma-delta modulator and the amount of oversampling necessary to achieve a particular SNR

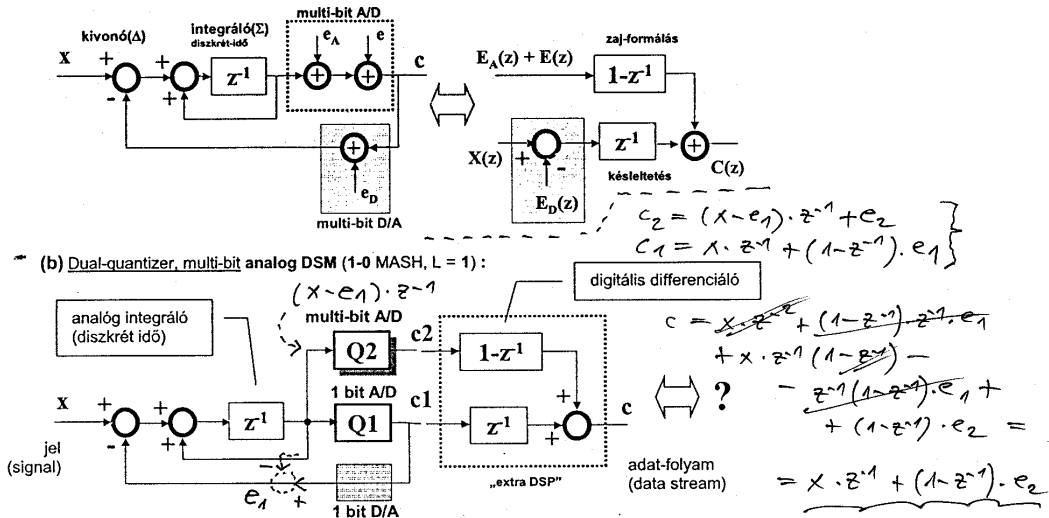
ANALOG MULTIBIT LP MODI

2.6 Multi-bites ($n > 1$), analóg DSM.

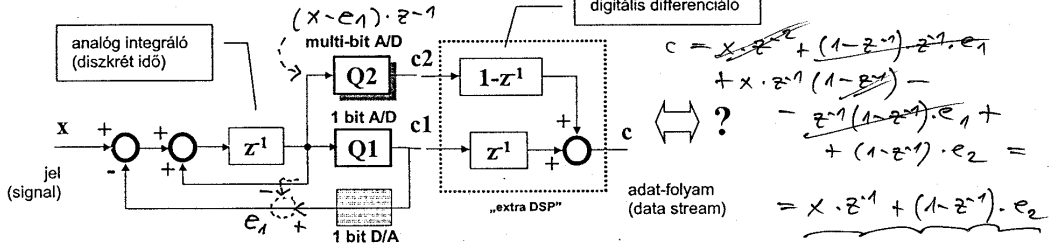
(a) Igazoljuk az ekvivalens topológiát ($L = 1$): a visszacsatoló ágban lévő D/A átalakító e_D torzítására **nincs** zajformálás (a hasznos sávba eső zajt csak a túlmintavételezés csökkenti)! Ezért igen **nagy linearitású** (kis transzfer torzítású) D/A átalakítót kell használni.

Ráadásul, csak egy órajelnyi késleltetés lehet a hurokban (loop rate = 1 clock latency), ami igen gyors (egy lépéses: word-at-a-time = flash) A/D átalakítót kíván. A modell számba veszi az A/D realizálási hibáját is: plusz e_A torzítás

(a) Multi-bit analóg DSM ($L = 1$):

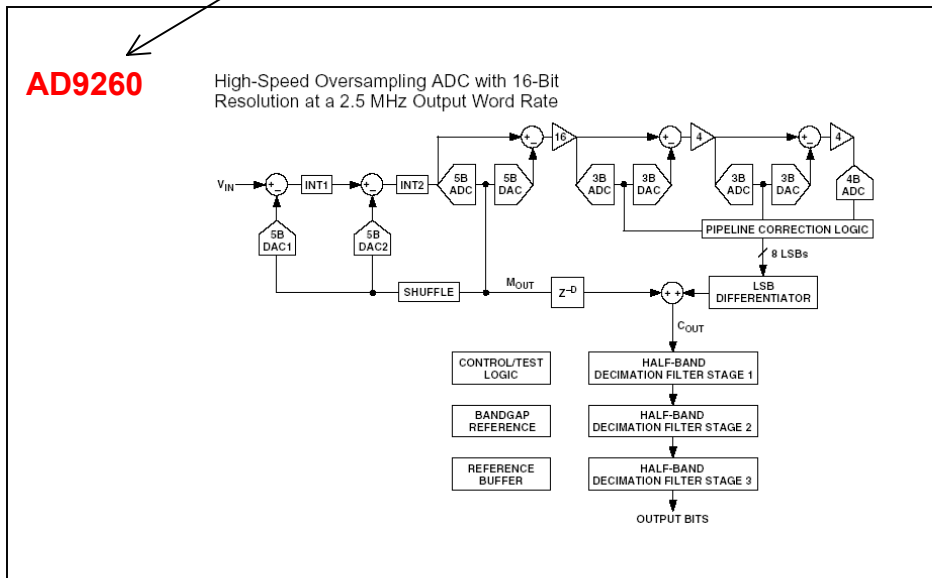


(b) Dual-quantizer, multi-bit analog DSM (1-0 MASH, $L = 1$):



(b) Egy trükk a probléma megoldására: 1-0 MASH két kvantálós architektúra [T. Leslie, B. Singh 1990]; a hatásos kvantáló (Q2) felbontása és a visszacsatolás (Q1) felbontása szétválik („multi-bites” kvantálás *kontra* „1 bites” visszacsatolás). Adjuk meg az ekvivalens topológiát (linearizált kvantáló modellek, hibamentes 1 bites D/A).

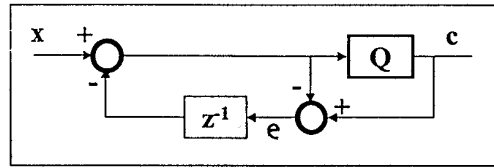
A multi-bites A/D a hurkon kívül van, így kell külső szűrő (a hiba korrekcióhoz); de pl. *több* lépéses, párhuzamos műveletvégzésű is lehet a konverter bit-kereső algoritmus (pipelining), amelynek terjedési késleltetése kompenzálható. (A módszer kombinálja az OSADC és a Nyquist-rate technikákat, lásd 8. példa.)



DIGITAL LP MOD1 and MOD2

2.9 A DSM eljárás egyik alapforrása a "hiba" visszacsatolás topológia (self-dithering, deterministic dither). *Analóg* DSM esetén *nem* praktikus az elrendezés, mert a visszacsatoló ágban végzett művelet hibájára nincs zajformálás (lásd 2.6 feladat). Ez nem hátrány *digitális* DSM esetén (sőt, pl. egyszerű szóhossz csonkítással realizálható a kvantálás és hiba-képzés, lásd 31. oldal)

"Hiba" visszacsatolás (L = 1, késleltetés a visszacsatoló ágban)



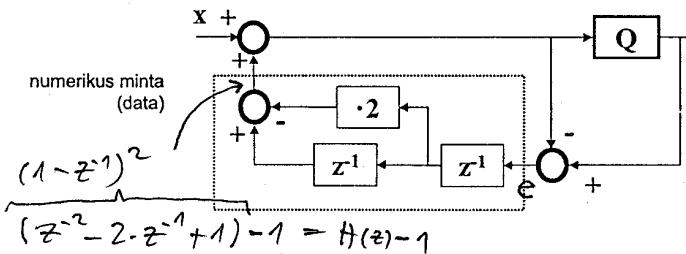
Q model

$$c = x - e \cdot z^{-1} + e$$

$$c = x + (1 - z^{-1}) \cdot e$$

[C. Cutler 1954/1960, U.S. Patent]

Másodrendű digitális DSM ("LSB(error)-feedback", L = 2) :



Q model

$$c = x + [H(z) - 1] \cdot e + e$$

$$c = x + H(z) \cdot e$$

adat-folyam
(data[bit] stream)

$(1 - z^{-1})^2$

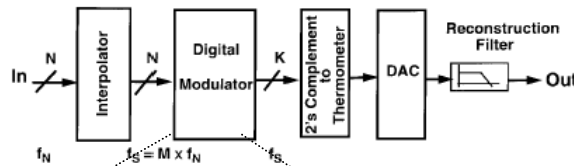
$$(z^{-2} - 2 \cdot z^{-1} + 1) - 1 = H(z) - 1$$

Ha $L > 1$ az igény zajformálásra, a késleltetést "predikciós" szűrő helyettesíti (amelynek átvitele: $H(z) - 1$, ahol $H(z)$ a kívánt zaj-formáló transzfer függvény).

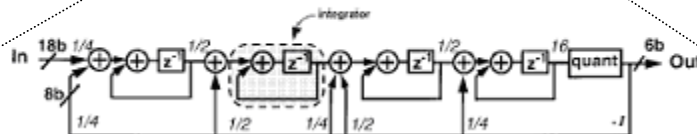
Igazoljuk, hogy a vázolt topológia másodrendű zajformáló. Megjegyzés: a szorzás ($\cdot 2$) = shift.

A (N =)14-bit, (f_N)10 MSPS DAC Using Multi-bit Delta-Sigma Modulation

M = 12 L = 4 K (= n) = 6



FALAKSHAHI et al.: 14-BIT D/A CONVERTER USING MULTIBIT Delta-Sigma MODULATION
IEEE JOURNAL OF SOLID-STATE CIRCUITS, VOL. 34, NO. 5, MAY 1999

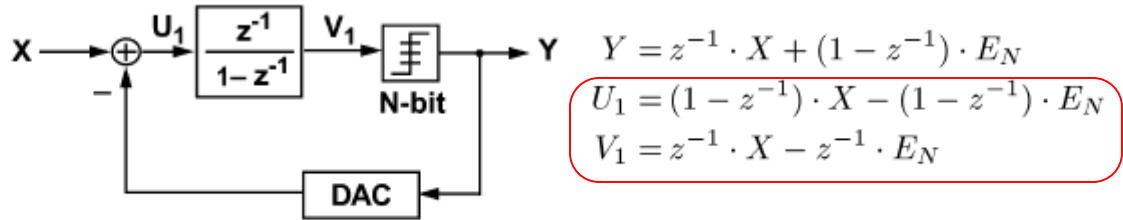


A Low-Voltage Low-Power Sigma-Delta Modulator for **Broadband** Analog-to-Digital Conversion

Ki-Young Nam, Student Member, IEEE, Sang-Min Lee, Student Member, IEEE, David K. Su, Senior Member, IEEE, and Bruce A. Wooley, Fellow, IEEE

a feedforward architecture

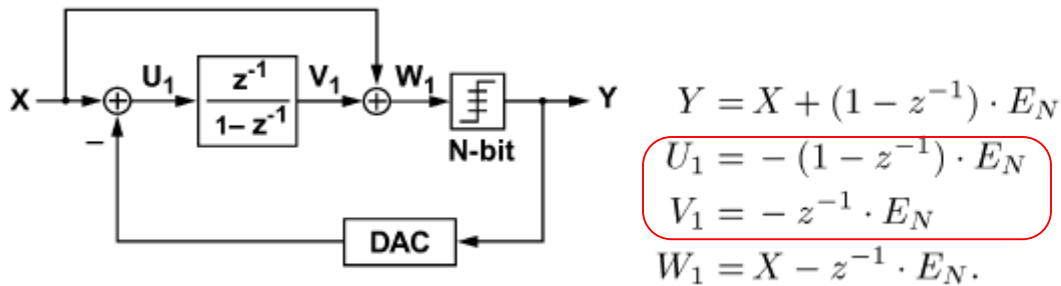
The input and output of the integrator, U_1 and V_1 , each have a component that depends on the modulator input:



Conventional first-order $\Sigma\Delta$ modulator.

This *input dependence results* in large signals for U_1 and V_1 when the input is large (\rightarrow *op amp* clipping, harmonic distortion ...)

The **input-feedforward path** in modulator is a method of relaxing the requirements on analog blocks:



First-order reduced integrator swing range (RISR) $\Sigma\Delta$ modulator.

The input and output of the integrator, U_1 and V_1 *no longer depend* on the modulator input X . The removal of the input signal component *reduces* the swing at the internal nodes of the modulator which relaxes the headroom requirements, and allows for more efficient *op amp* architectures to be used.

[However, the input-feedforward path presents a couple of *complications*, namely the increased loading the input has to drive, the analog adder at the quantizer input ...]

The approach can be expanded to a second-order noise-differencing modulator:

